Feb. 2016

文章编号: 1001-3555(2016)01-0072-08

具有镶嵌结构 T-L 多级孔道复合分子筛的快速合成与表征

吕爱凝1,杨冬花1*,李建华1,马存存1,李晓峰2,窦 涛2,3

 $(1. \ \, 太原理工大学 \, 化学化工学院, 山西 太原 030024; 2. \ \, 太原理工大学 精细化工研究所, 山西 太原 030024;$

3. 中国石油大学(北京) 化工学院 CNPC 催化重点实验室, 北京 102249)

摘要:采用水热法,在 Na₂O-K₂O-Al₂O₃-SiO₂-HMBr₂-H₂O 体系,一步法快速合成了具有 T 型和 L 型两种结构特征的 T-L 复合分子筛,通过 XRD、N₂ 吸附-脱附、SEM-EDX、TEM、FT-IR 和 TG-DTG 等手段,对合成样品的物理化学性质进行了表征. 结果表明:所合成的分子筛是球形 L 型分子筛镶嵌在椭圆体 T 型分子筛一侧,形成的 1 ~ 2 μ m 左右的双结构复合分子筛;孔道性质表征说明其具有微孔和介孔的多级孔道结构,微孔平均孔径为0.82 nm,介孔的孔径主要分布在 3.8 nm 左右. 通过对阳离子比 $R=K_2O/(K_2O+Na_2O)$ 影响因素进行分析,获得 T 型、L 型及 T-L 复合分子筛的转化规律,R 的大小在 0.3 ~ 0.5 nm 范围内可以合成结晶度高的 T-L 复合分子筛.

关键词: 镶嵌结构; T-L 复合分子筛; 多级孔道; 表征中图分类号: 0643.3; T0426 文献标志码: A

T型分子筛和L型分子筛都是具有一定孔道结 构和空穴的硅酸盐晶体. 1960 年 Breck 等[1] 首先报 道了T型分子筛的合成,该分子筛属于六方晶系, 孔径大约为 0.45 nm 左右[2], 骨架由钙霞石笼和六 方晶柱组成; L型分子筛的结构是在1969年由 Barrer 和 Villiger 确定的[3],该分子筛同属于六方晶 系, 孔道尺寸为 0.71 nm, 骨架由钙霞石笼和双六 元环组成. 这两种分子筛在特性上具有一定互补 性,如L型分子筛在轻烃芳构化反应中具有较高的 选择性, 但对低碳烃(C₁~C₅ 烃)的活性稳定性较 低且寿命较短[4-11];而T型分子筛在有关低碳烃的 反应中则表现出很高的活性[12-14],但由于它的孔 径分布较窄,限制了其应用于较大分子的反应.因 此,如果将 L 型分子筛对于芳烃的高选择性和 T 型 分子筛对于低碳烃的高活性有机地结合起来,有利 于克服单一分子筛的自身局限,实现其协同作用. 目前,国内FCC汽油中烯烃含量过高,而芳烃含量 相对较低, 在降低 FCC 中烯烃含量的同时如何保持 或增加汽油的辛烷值是国内能源发展中一个急需解 决的问题. 复合分子筛作为一种新型的轻烃芳构化 催化材料[15-17],将受到人们越来越多的关注.

吕新春等^[18]报道的 T-L 复合分子筛,采用在低温老化 1 d、100 ℃晶化 7 d,合成了 L 型分子筛附生在 T 型分子筛一端的铆钉状 T-L 复合分子筛,这种方法存在合成时间长,导致成本较高的问题. 我们采用一步法并添加极少量模板剂的方法,在100 ℃晶化 2 d,合成了具有球形颗粒镶嵌在椭圆体颗粒一侧形貌的 T-L 复合分子筛,该方法达到了缩短合成周期,降低能耗的目的. 通过分析 T-L 复合分子筛的孔结构数据,获得镶嵌结构 T-L 复合分子筛孔径的变化规律.

1 实验方法

1.1 实验试剂

铝酸钠(NaAlO₂),分析纯,国药集团化学试剂有限公司, $w(Al_2O_3)=41\%$;氢氧化钾,分析纯,氢氧化钠,化学纯,天津市科密欧化学试剂有限公司;硅溶胶(SiO₂,5.98 mol·L⁻¹),北京兴达信化工公司;溴化六甲双铵(HMBr₂,98%),实验室自制;去离子水,实验室自制.

收稿日期: 2015-10-28; 修回日期: 2015-12-14.

基金项目: 国家重点基础研究发展计划(973 计划,2012CB215002);国家自然科学基金(20973123);山西省自然科学基金(2013011041-1) (National Key Basic Research Development Plan (973 Plan 2012CB215002); National Science Foundation (20972123); Nutural Science Foundation of Shanxi Province (2013011041-1)).

作者简介: 吕爱凝(1990-),女,硕士研究生,主要从事催化新材料研究, E-mail:15034099443@163.com(Lv Aining, (1990-), Woman, master, Study on new catalytic material, E-mail:15034099443@163.com).

* 通讯联系人, Tel:86-13546305881, E-mail:ydh1962@163.com.

1.2 分子筛的合成

合成步骤:首先称取一定量的氢氧化钠、氢氧化钾和铝酸钠加入去离子水中并使其溶解,其次加入少量溴化六甲双铵作为模板剂,充分搅拌待所加物质基本溶解以后,缓慢加入硅溶胶,继续搅拌1h,然后将物料倒入100 mL 不锈钢反应釜中密封,100 ℃晶化48h;晶化完成后,经洗涤、抽滤,再放入100~120 ℃烘箱中干燥,550 ℃焙烧5h脱除模板剂即得T-L复合分子筛样品.

1.2.2 T+L 机械混合分子筛的制备 将 L 型分子 筛和 T 型分子筛按质量比 3:17 混合均匀获得机械混合分子筛(记为 T+L). L 型分子筛和 T 型分子筛为本实验室自制.

1.2.3 L 质量分数的确定 T-L 复合分子筛中 L 含量由 XRD 谱图中 L 衍射峰 $2\theta = 5.5$ °峰强度与 L 含量的标准曲线来确定.标准曲线由一系列已知 L 含量的 T+L 机械混合分子筛的 XRD 谱图中 L 衍射峰 $2\theta = 5.5$ °峰强度作纵坐标,相应的 L 含量作横坐标所获得.

1.3 表征方法

采用日本理学 RigakuD/max2500 粉末型 X 射线衍射仪进行 XRD 物相分析,测试条件: CuK α 射线,石墨单色器,管电压 40 kV,管电流 100 mA,5°~35°扫描,扫描速率为 8°/min,扫描步长 0.02°.采用 TSM-1 型扫描电子显微镜拍摄分子筛样品的 SEM 照片,并对其进行 EDX 元素分析. 采用日本 JEOL 公司的 FT-IRGG314-JEM-2100F 场发射透射电子显微镜拍摄分子筛样品的 TEM 照片. 样品骨架分析采用日本岛津公司 FT-IR 8400 型红外光谱仪完成. N₂ 吸附-脱附测试在美国 Micromeritics公司 ASAP2000 自动物理吸附仪上进行. 热稳定性分析采用德国 TG-DTA (NETZSCHSTA409C),空气气氛,升温速率 20 °C/min.

2 结果与讨论

2.1 催化剂的表征

2.1.1 XRD 物相分析 图 1 为 L, T-L, T+L 和 T 的 XRD 图谱. 图 1(a)显示在 $2\theta = 5.5^{\circ}$ 、19. 2° 和

29.0°等处出现衍射峰,这是 L 型分子筛的特征衍 射峰[19],图1(d)在7.7°,13.3°,31.4°等处有尖 锐的衍射峰,为T型分子筛的特征衍射峰[20].T和 L 的特征衍射峰在样品的 XRD 图谱(图 1(b))中共 存,表明采用一步法在低温水热条件下合成的样品 同时具有 T 和 L, 为 T-L 复合分子筛^[18]; 参比样机 械混合分子筛 T+L 的 XRD 图(图 1(c))中同样出 现了T和L的特征衍射峰,为两者共存的T+L机械 混合分子筛. 由图 1 可知, 复合分子筛 T-L 中出现 了 T 和 L 的特征衍射峰, 没有其他杂峰出现, 表明 T-L 复合分子筛可以很好的通过一步法快速水热晶 化合成. 复合分子筛中 5.5°处衍射峰的峰强度较 弱, 表明复合分子筛中 L 型分子筛含量较低, 这与 合成体系中氢氧化钾和氢氧化钠比例有关. 复合分 子筛 T-L 和机械混合分子筛 T+L 中 L 的质量百分 含量为15%.

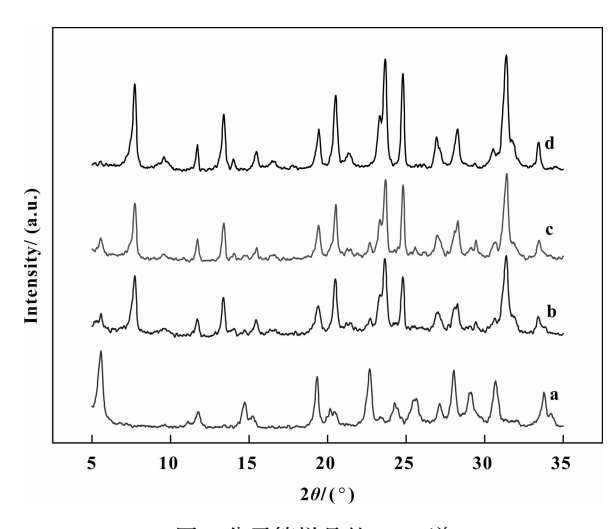


图 1 分子筛样品的 XRD 谱 Fig. 1 XRD patterns of different samples a: L; b: T-L composite zeolite (L 15%); c: T+L mechanical mixture (L 15%); d: T

2.1.2 孔道性质分析 表 1 给出了 T-L 复合分子筛中 L 质量分数为 0, 15%, 50% 和 100% 的 4 种样品的孔结构参数. 由表 1 可见, T 型分子筛具有较大的 BET 比表面积 487 m²/g, 微孔平均孔径为 0.8 nm, 远大于文献[2]中给出的 0.45 nm. 而 L 型分子筛的 BET 比表面积较小,为 250 m²/g,微孔平均孔径为 0.85 nm,也超过了文献[3]中给出的 0.71 nm,这是由于两种分子筛在合成过程中使用了模板剂,达到了孔径增大的效果. 复合分子筛 T-L (L含量为 50%)的微孔平均孔径为 0.82 nm, BET

	徐柱品		

Table 1 Textural properties of different zeolite samples	Table 1	Textural	properties	of different	zeolite	samples
--	---------	----------	------------	--------------	---------	---------

Samula	L	$S_{ m BET}^{a}$	$S_{ m mic}^{~~ m b}$	$S_{ m ext}^{\ \ m b}$	$V_{ m mic}^{- m b}$	$V_{ m ext}^{\ \ m c}$	\mathbf{D}^{d}
Sample	/%	$/(m^2 \cdot g^{-1})$	$/(m^2 \cdot g^{-1})$	$/(m^2 \cdot g^{-1})$	$/(\mathrm{cm}^3 \cdot \mathrm{g}^{-1})$	$/(cm^3 \cdot g^{-1})$	/nm
L	100	250	185	65	0.08	0.16	0.85
T-L	50	391	346	45	0.14	0.07	0.82
T-L	15	455	411	44	0.16	0.05	0.80
T	0	487	449	38	0.18	0.04	0.80

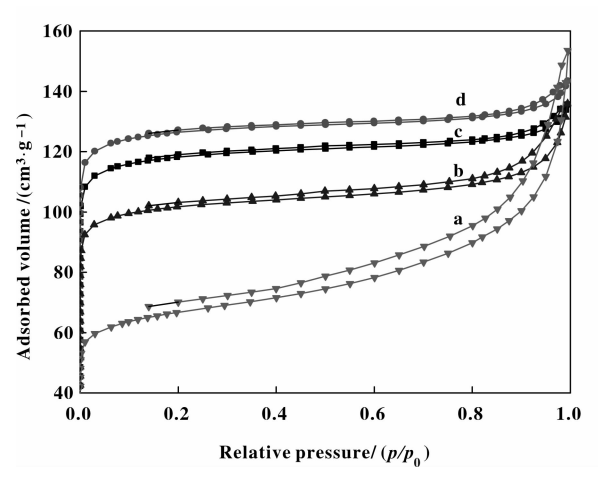
- a. Calculated by the Brunauer-Emmett-Teller (BET) method;
- b. Obtained from the t-plot method;
- c. $V_{\text{ext}} = V_{\text{total}} V_{\text{mic}}$;
- d. Calculated through Horvath-Kawazoe (HK) method.

比表面积为391 m^2/g , 外表面积45 m^2/g ; T-L(L含量为15%)的微孔平均孔径为0.8 nm, BET 比表面积为455 m^2/g , 外表面积44 m^2/g , 两种复合分子筛样品的BET 比表面积和外表面积都介于单一T和L型分子筛之间.

复合后适宜的孔道结构是催化反应的基础.如图 2 所示,本实验测量了 T-L 复合分子筛中 L 质量分数为 0,15%,50% 和 100% 的 4 种样品 N₂ 吸附-脱附等温线以及相应的 BJH 孔径分布图.由图可知,复合分子筛 T-L(L含量为 50%)和 T-L(L含量为 15%)的吸脱附等温线位于单一分子筛 T 和 L 吸脱附等温线之间,表明两者是 T 和 L 两种分子筛样品的混合体.在低压时,所有样品均发生单层吸附,N₂ 分子进行微孔填充,反映出的吸附量随着压力的升高而迅速增加,当达到一定压力后,其吸附

量随压力的变化就不太明显了,而在 p/p₀>0.7 时等温线开始上翘,并出现滞后环,这是晶粒聚集产生的规则的二次孔道特征.当 L含量为 15% 时,滞后环较小,反映出的介孔含量较少;然而随着复合分子筛中 L含量的逐渐增加,滞后环越来越明显,反映出的介孔含量也逐渐增多;直到 L含量为100% 时,介孔孔容达到了 0.16 cm³/g.上述结果表明,合成的 T-L复合分子筛是包含微孔和介孔的复合材料,其滞后环的大小与复合分子筛中 L的含量是成正比的,且本实验中 L的含量在合成过程中基本是可控的.从相应的 BJH 孔分布图上看,复合分子筛 T-L(L含量为50%)和 T-L(L含量为15%)的介孔孔径主要分布在3.8 nm 左右,进一步说明合成的复合分子筛具有微孔和介孔的多级孔道结构,能为催化反应提供不同的扩散路径.

第30卷



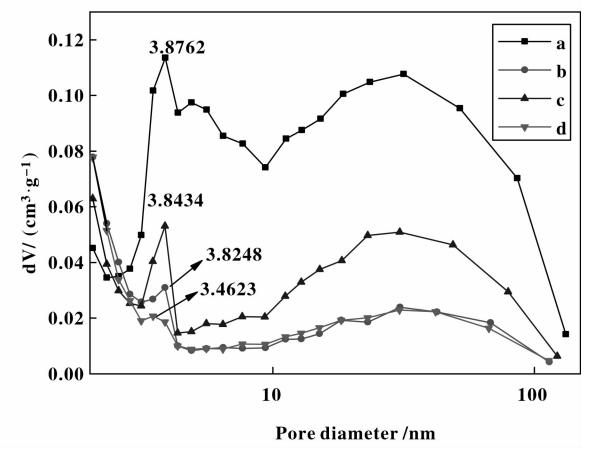
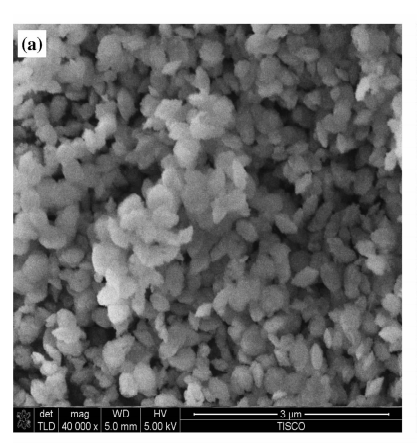


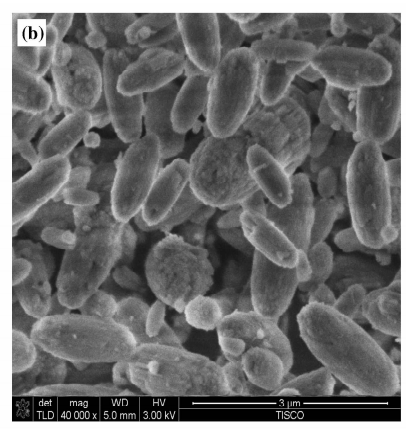
图 2 分子筛样品的 N₂ 吸附-脱附曲线和孔径分布图

Fig. 2 N₂ adsorption/desorption curves and pore size distributions of different zeolite samples a; L; b; T-L composite zeolite (L 50%); c; T-L composite zeolite (L 15%); d; T

2.1.3 形貌分析 图 3 为 L, T 和 T-L (L含量为 15%)的 SEM 图. 各分子筛样品的形貌及晶粒大小都存在明显地差别. L型分子筛的粒径大小分布均匀,介于 0.2~0.3 μm 之间, T 型分子筛呈现出层

状堆积的椭圆体形貌,粒径大约为1~2 μm 左右.不同于简单地机械混合,复合分子筛 T-L 的形貌为球形 L 型分子筛镶嵌在椭圆体 T 型分子筛的一侧,粒径大约为1 μm 左右.





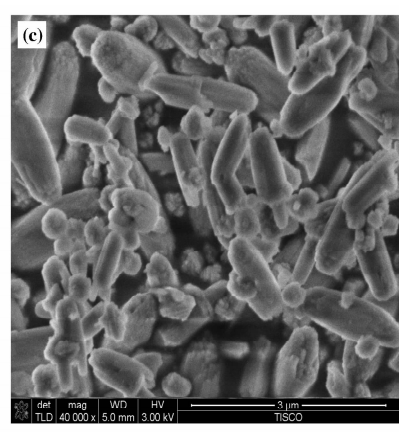


图 3 分子筛样品的 SEM 照片 Fig. 3 SEM photographs of different samples (a): L; (b): T; (c): T-L composite zeolite (L 15%)

图 4 为 L, T 和 T-L 的 TEM 图. 图 4 中可以清 晰地看到L和T型分子筛具有长程有序的均匀微 孔孔道结构,同时由图 4(a₂)中看到由小粒子堆积 产生的较宽的短程有序而长程无序的明纹, 表明 L 型分子筛中存在着一定数量的介孔孔道,这个在 BET 结果中得到证实. 由图 4(b2) 可见 T 型分子筛 的孔道方向与晶体的伸长方向一致,图 4(c1)中 T 型分子筛右下方缺陷处表明T型分子筛为层状材 料堆积而成. 图 $4(c_1)$ 显示 T-L 分子筛为球形颗粒 镶嵌在椭圆体颗粒的一侧,图4(c2)是T和L交界 处的局部放大, 在图 $4(c_2)$ 中可以清晰地看到 T-L复合分子筛较大的孔道结构,上方相对较小的球形 颗粒为 L 型分子筛, 下方为 T 型分子筛, 两者的交 界处非常致密,表明它们是交互生长而成,并非偶 然的简单相连. TEM 照片进一步说明了所制备的样 品是交互生长的镶嵌结构复合分子筛,不同于简单 机械混合的样品. 镶嵌结构会影响分子筛骨架中碱 金属的含量,例如,合成T-L复合分子筛(L含量为 15%)时,投料的体系中 K 的添加量少于 L 型分子 筛, 而表 2 的 EDX 元素分析表明, T-L 复合分子筛 中 K 的含量为 3.94%, 明显多于 L 型分子筛中的 2.61%, 这可能是是因为 T-L 复合分子筛镶嵌处复 杂的孔道结构阻碍了 K⁺的流失; Na 的含量两者相 差不大, 这是因为 Na⁺ 直径为 0.19 nm, 相对 K⁺ 直 径较小,而双六元环组成的六棱柱或钙霞石笼的最大孔径约为0.19 nm,结构的改变对 Na 的含量影响不大.

2.1.4 骨架结构分析 红外光谱对短程有序较敏 感,可用于检测分子筛的微晶结构.对 T、L、及 T-L 复合分子筛样品分别进行 FT-IR 分析, 结果如图 5 所示. 由图可见, L型分子筛的 FT-IR 谱中(图 5 (a))出现 T—O 键的弯曲振动峰(475 cm⁻¹), 六元 环双环振动吸收峰(609 cm⁻¹),外部四面体的反对 称伸缩振动峰(786 cm⁻¹), Al-O-Si 键的反对称 伸缩振动峰(1 033 cm⁻¹), T—O—T 面内及面外对 称伸缩振动峰(1093 cm⁻¹), 这些峰均为 L型分子 筛的特征谱带^[21]. T型分子筛的 FT-IR 谱中(图 5 (c)) 出现双环振动吸收峰 (636 cm^{-1}) , 为 T 型分子 筛的特征谱带^[22]. T-L 复合分子筛的红外光谱(图 5(b))中双环振动吸收峰出现在636 cm⁻¹ 处,归属 于 T 型分子筛的双环伸缩振动,没有出现 L 型分子 筛的双环振动吸收峰(609 cm⁻¹),可能是T-L复合分 子筛中 L 型分子筛的含量较少, 双六元环伸缩振动 减弱, 主要体现为 T 型分子筛的双六元环伸缩振动. 2.1.5 热稳定性分析 T-L 复合分子筛(L含量为 15%)的TG和DTG曲线示于图6.可见复合分子筛 在 359、699 和 977 K 处有 3 个峰, 359 K 的失重峰 归属表面水和晶格水的脱除;在699 K的失重峰归

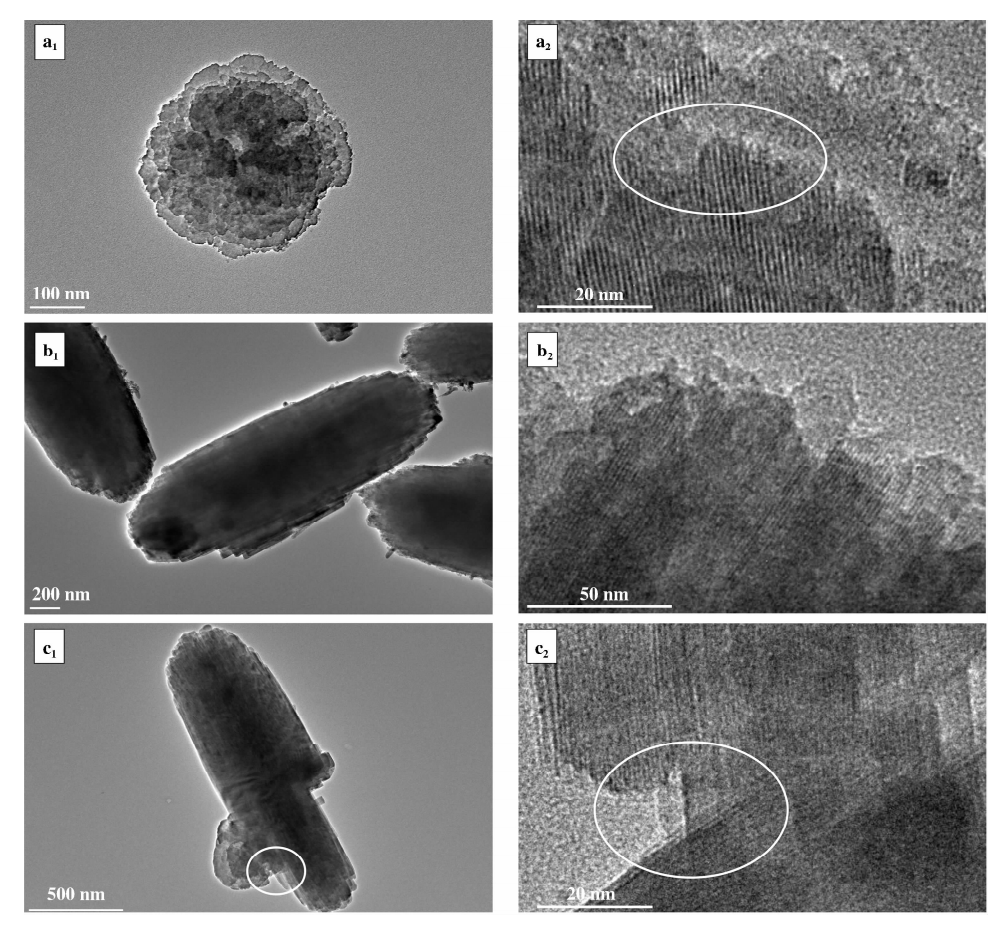


图 4 分子筛样品的 TEM 照片 Fig. 4 TEM photographs of different samples

 a_1 : L; a_2 : L; b_1 : T; b_2 :T; c_1 : T-L composite zeolite (L 15%); c_2 : T-L composite zeolite (L 15%)

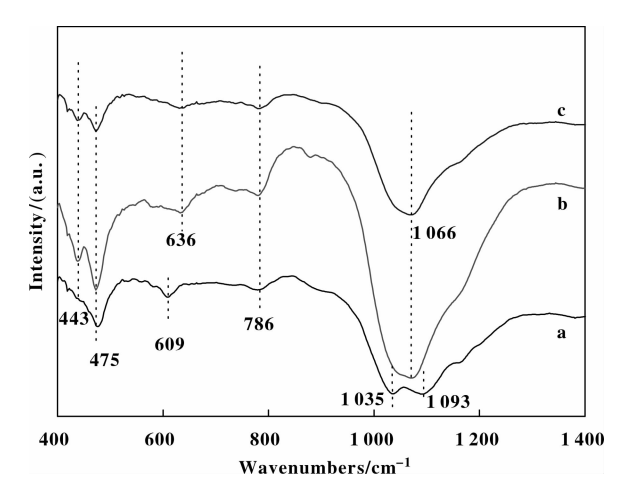


图 5 分子筛样品的 FT-IR 谱 Fig. 5 FT-IR spectra of different samples a: L; b: T-L composite zeolite (L 15%); c: T

属 T-L 复合分子筛的模板剂脱除,相应的失重率为 4.86%,表明在较低温度下可以将模板剂脱除,复

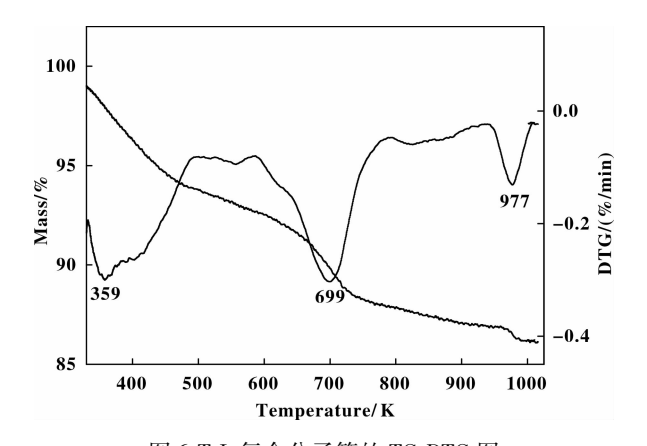
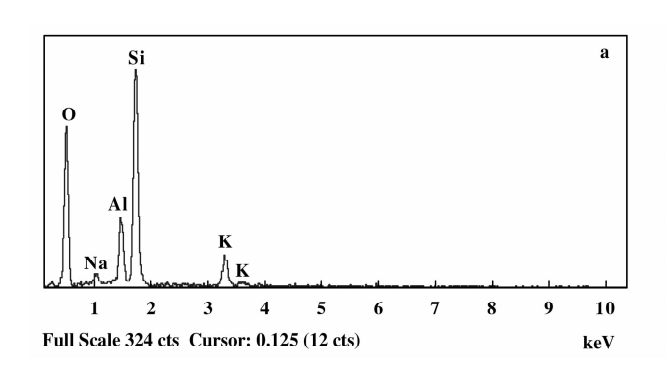


图 6 T-L 复合分子筛的 TG-DTG 图 Fig. 6 TG-DTG patterns of T-L composite zeolite(L 15%)

合分子筛是具有稳定的结构;在977 K存在一个小的失重峰,归属于复合分子筛部分骨架的坍塌.由此可见本方法合成 T-L 复合分子筛的模板剂用量较少,有助于降低原料成本.

2.2 阳离子比对 T 和 L 型分子筛转化的影响

阳离子比是影响沸石合成的主要因素之一,它 是指氧化钾占碱金属氧化物的比例,即 $R = K_5O/$ (K₂O+Na₂O)^[23]. 图 7 为考察在 Na₂O-K₂O-Al₂O₃-SiO₂-HMBr₂-H₂O 体系中,调节阳离子比可以合成 不同分子筛样品的 XRD 图谱. 每种分子筛都有其 合适的合成条件, 当 R 值在 0.5~1 范围内时,即 K⁺在加入体系的碱金属氧化物中所占比例较多时, 都可以合成高结晶度的 L 型分子筛(图 7(a-c)); 随着 R 值的减小, 即 Na⁺的增加, 7.7°等处明显出 现了 T 型分子筛的特征衍射峰, L 型分子筛的衍射 峰强度逐渐降低, 生成了含有 T 和 L 两种分子筛结 构的 T-L 复合分子筛样品, 并且产物中所含两种结 构的衍射峰强度在 R=0.4 时基本相等(图 7(d-(e)); 当 (R) 减小到 (0.2) 时, 复合分子筛中含有的 (L)型分子筛结构的特征衍射峰完全消失,T型分子筛 的衍射峰强度达到最高,进一步合成了单一 T 型分 子筛(图7(f)), 这表明阳离子比对于在相同体系 可以合成不同分子筛起了非常关键的作用.



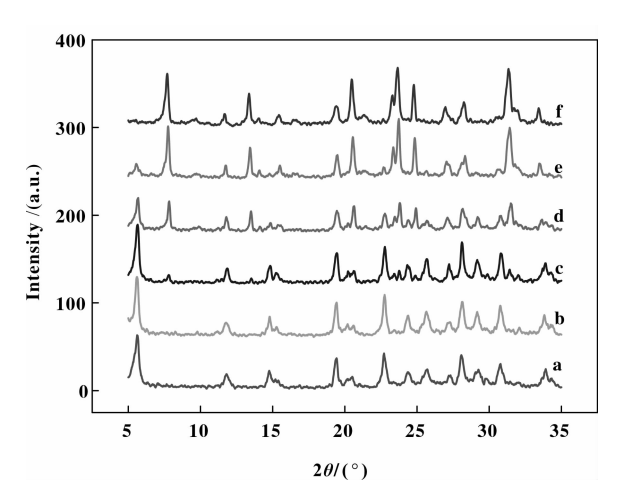


图 7 不同阳离子比合成分子筛样品的 XRD 图谱 Fig. 7 XRD patterns of as-synthesized samples with different R a: 1(L); b: 0.7(L); c: 0.5(L); d: 0.4(T-L: L 50%); e: 0.3(T-L: L 15%); f: 0.2(T)

其原因可以理解为: L型分子筛和 T型分子筛 骨架的主要次级结构单元都主要是钙霞石笼,每个 钙霞石笼中硅原子和铝原子的总数为18,由表2测

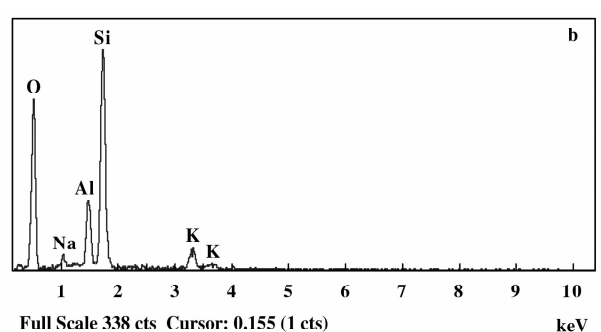


图 8 不同分子筛样品的 EDX 元素分析结果

Fig. 8 Chemical composition of different samples tested by EDX a; T-L composite zeolite (L 15%); b; L

表 2 测定区域的元素组成

Table 2 Elemental composition of selective region

Sample	L/%	Element composition of molecular sieves (atomic/%)				
	1./%	0	Na	Al	Si	K
T-L	15	67.18	1.18	5.60	22. 10	3.94
L	100	68.31	1.42	5.97	21.69	2.61

定区域的 EDX 元素分析可知: T-L 复合分子筛(L 含量为 15%)的硅铝原子比为 3.95, 折算为每个钙 霞石笼含有 3.64 个铝原子, 说明复合分子筛中可能含有两种钙霞石笼, 一种含有 3 个铝原子, 记为 α -钙霞石笼, 一种含有 4 个铝原子, 记为 β -钙霞石

笼; 表 2 测定区域的 EDX 元素分析单一 L 型分子 筛硅铝原子比为 3.63, 折算为每个钙霞石笼含有 3.89 个铝原子, 说明所合成的 L 型分子筛主要是由 β-钙霞石笼和极少量的 α-钙霞石笼相互联结构成. 这是因为钙霞石笼中都是 K^+ 占位 [24], 在这里

可以解释为 β -钙霞石笼都是 K^+ 占位, K^+ 是合成 L型分子筛的特征离子,也对 β -钙霞石笼的形成起决定作用,合成 L 的原料中偏铝酸钠和钠型硅溶胶中含有少量钠,这些 Na^+ 促使生成了少量含有 3 个铝原子的 α -钙霞石笼.

综上所述,Na⁺主要促进 α -钙霞石笼的生成,K⁺主要促进 β -钙霞石笼的生成. 当 α -钙霞石笼只占少量的时候, α -钙霞石笼、 β -钙霞石笼和双六元环相互联结,形成 L 型分子筛;随着 Na⁺的增加, α -钙霞石笼逐渐增多, β -钙霞石笼越来越少,L 型分子筛结构开始减少,T 型分子筛结构开始生成,形成了 T 和 L 型分子筛结构共存的 T-L 复合分子筛;继续增加 Na⁺的添加量,即 K⁺减少到一定量时,K⁺导向生成的 β -钙霞石笼逐渐消失,产物结构中 α -钙霞石笼开始占据主导地位,在 XRD 谱图中表现为 L 型分子筛的特征衍射峰逐渐消失,T 型分子筛的衍射峰强度达到最高,形成了单一的 T 型分子筛。有关阳离子影响 T-L 复合分子筛微观结构的原理有待进一步分析.

3 结论

- 3. 1 在 Na₂O-K₂O-Al₂O₃-SiO₂-HMBr₂-H₂O 体系,采用一步法快速合成了同时具备 T 型和 L 型分子筛两种结构特征的 T-L 复合分子筛,该样品具有多级孔道结构,形貌为球形 L 型分子筛镶嵌在椭圆体 T 型分子筛的一侧.
- 3.2 在相同体系中,阳离子比 $R = K_2O/(K_2O + Na_2O)$ 的大小是成功晶化合成出 T-L 复合分子筛的关键,R 在 $0.3 \sim 0.5$ 的范围内成功合成了 T-L 复合分子筛;通过调节 R 值的大小,在 $0.5 \sim 1$ 的范围内合成了单一 L 型分子筛;在 R=0.2 时合成了单一 T 型分子筛.

参考文献:

- [1] Breck D W. Crystalline zeolite T, USP[P]: 2950952, 1960.
- [2] Gard J A, Tait J M. The crystal structure of the zeolite offretite, K_{1.1}Ca_{1.1}Mg_{0.7}[Si_{2.8}Al_{5.2}O₃₆] · 15.2H₂O[J]. Acta Cryst, 1972, B28: 825-834.
- [3] Barrer R M, Villiger H. The crystal structure of the synthetic zeolite L[J]. Z Kristallogr, 1969, 128 (5/6): 352-370.
- [4] a. Dong Jia-lu(董家禄), Hu Pei-xian(胡佩贤), Zhu Jian-hua(朱建华). Studies on a new type reforming cat-

- alyst--roles of acidity and bacidity of zeolites in catalysts (新型重整催化剂的研究--Pt/L 中沸石酸碱性的作用)[J]. Acta Pet Sin (Petr Pro Sec)(石油学报(石油加工)), 1996, 12(2): 13-18.
- b. Yang Dong-hua (杨冬花), Shi Bao-bao (石宝宝), Dai Rong(代蓉), et al. Synthesis and density functional theory studies of ITQ-13 zeolites (ITQ-13 分子筛合成及DFT 理论计算) [J]. J Mol Catal (China) (分子催化), 2014, 28(6): 564-573.
- [5] a. Zheng Jian(郑坚), Dong Jia-lu(董家禄), Xu Qinhua(须沁华). The influence of Fe on the aromatization reactivity and sulphur-resistance of Pt/KL zeolite(添加Fe 对 Pt/KL 沸石芳构化及抗硫性能的影响)[J]. Acta Phys-Chim Sin(物理化学学报), 1997, 13(6): 573-576.
 - b. Dai Rong(代 蓉), Yang Dong-hua(杨冬花), Zheng Zi-liang(郑子良), et al. Theoretical study on the acidity of neighboring acid sites in EU-1 zeolite and its acidity characterization(EU-1 分子筛相邻酸性位的 DFT 计算和酸性表征)[J]. J Mol Catal(China)(分子催化), 2014, 28(5): 474-484.
- [6] Gary J, Cristina L P, Daniel E R. Comparative study of n-hexane aromatization on Pt/KL, Pt/Mg(Al)O, and Pt/SiO₂ catalysts:clean and sulfur-containing feeds[J]. J Catal, 1998, 179(1): 43-55.
- [7] Gary J, Walter E A, Daniel E R. Study of preparation parameters of powder and pelletized Pt/KL catalysts for nhexane aromatization [J]. Appl Catal A: Gener, 2001, 206(2): 267-282.
- [8] Siriporn J, Paneeya S, Thirasak R. *n*-Octane aromatization on a Pt/KL catalyst prepared by vapor-phase impregnation [J]. *J Catal*, 2003, **218**(1): 1-11.
- [9] Supak T, Siriporn J, Thirasak R. n-Octane aromatization over Pt/KL of varying morphology and channel lengths [J]. Appl Catal A; Gener, 2006, 313(2); 189-199.
- [10] Ke Ming(柯 明), Zhu Kun-lei(朱坤磊), Song Zhaofeng(宋昭峰). Comparison of performance to removing olefins in FCC gasoline by aromatization between ZSM-5 zeolite and L zeolite(ZSM-5 沸石和 L 沸石对 FCC 汽油 芳构化降烯烃性能比较)[J]. J Petrochem Univer(石油化工高等学校学报), 2006, 19(1); 56-60.
- [11] Shi Ying-zhen(石映祯), Jiang Xian(姜 贤), Zhang Yong(张 勇). Mechanism of aromatization of alkanes over Pt/L zeolite catalysts(铂/L分子筛重整催化剂烷烃 芳构化反应机理)[J]. J Catal(催化学报), 1993, 14 (4): 312-316.
- [12] Michael W A, Mario L O, Jacek K. Carbon-13 and pro-

- ton magic-angle-spinning NMR studies of the conversion of methanol over offretite/erionite intergrowths [J]. J Phys Chem, 1992, **96**(1); 388–392.
- [13] Occelli M L, Innes R A, Pollack S S. Quaternary ammonium cation effects on the crystallization of offretite-erionite type zeolite: Part 1. Synthesis and catalytic properties[J]. Zeolites, 1987, 7(3): 265-271.
- [14] Maria D A, Antonio A R, Mario L O. In situ NMR studies of the conversion of methanol into gasoline on aluminosilicate and gallosilicate offretites [J]. J Phys Chem, 1997, 101 (26): 5166-5171.
- [15] Guo Wan-ping(郭万平), Huang Li-min(黄立民), Chen Hai-ying(陈海鹰). A Novel MCM-41-β-zeolite composite molecular sieve with mesoporous and microporous structure(新型 MCM-41-β-沸石中孔-微孔复合分子筛)[J]. Chem J Chin Univer(高等学校化学学报), 1999, 20(3): 356-358.
- [16] Li-min Huang, Wan-ping Guo, Peng Deng. Investigation of synthesizing MCM-41/ZSM-5 composites [J]. *Phys Chem B*, 2000, **104**(13); 2817–2823.
- [17] Wan Hai (万海), Zhang Xiao-yu (张小雨), Zhang Ruo-jie(张若杰). Synthesis of high performance ZSM-5-L composite zeolite and its catalytic properities for n-pentane aromatization(高效 ZSM-5-L 二元复合分子筛的合成及正戊烷芳构化性能)[J]. Chem J Chin Univer(高等学校化学学报), 2014, 35(10): 2220-2226.
- [18] Lv Xin-chun(吕新春), Zhao Rong(赵荣), Wu Tai-liu

- (吴泰琉). Synthesis and characterization of a novel intergroeth zeolite T-L(一种新型共生沸石(T-L)的合成与表征)[J]. *Acta Chim Sin*(化学学报), 2005, **11** (63): 961-963.
- [19] Wu Xing-jie(武行洁). The exploration of special synthesis method of zeolite L(L沸石特种合成路线的探索)[D]. Taiyuan University of Technology(太原理工大学): 35.
- [20] Zhang Zhi-guo(张志国). Synthesis of zeolite T using water glassas silica Source(以水玻璃为硅源合成 T 型 沸石的研究)[D]. Dalian University of Technology(大连理工大学): 14-19.
- [21] Montes de C C, Villa de P A Luz, Ramirez-Corredores M M. Synthesis and characterization of cobalt modified LTL-type zeolite [J]. Appl Catal A: Gener, 2000, 197 (1): 151-156.
- [22] Yang Sanyuan, Evmiridis N P. Synthesis and characterization of an offretite/erionite type zeolite [J]. *Micro Mater*, 1996, **6**(1): 19-26.
- [23] Sun Jian-fei(孙剑飞), Tian Yi-guang(田一光), Li Guang-jun(李广君). Synthesis of zeolite L at high-temperature(L型沸石的高温合成)[J]. *J Shenyang Ins Chem Technol*(沈阳化工学院学报), 1997, **11**(1): 55-59.
- [24] Sato M, Morikawa K, Kurosawa S. X-ray rietveld analysis of cation exchanged zeolite-L(LTL)[J]. Eur J Miner, 1990, 2(6): 851-860.

Rapid Synthesis and Characterization of Hierarchical Structured T-L Composite Zeolite with the Mosaic Morphology

LV Ai-ning¹, YANG Dong-hua^{1*}, LI Jian-hua¹, MA Cun-cun¹, LI Xiao-feng², DOU tao^{2,3}

- College of Chemistry and Chemical Engineering, Taiyuan University of Technology, Taiyuan 030024, China;
 Research Institute of Special Chemicals, Taiyuan University of Technology, Taiyuan 030024, China;
- 3. CNPC Key Laboratory of Catalysis, College of Chemical Engineering, China University of Petroleum-Beijing,
 Beijing 102249, China)

Abstract: The T-L composite zeolite with the binary structures of zeolite T and zeolite L was synthesized rapidly in the system of $Na_2O-K_2O-Al_2O_3-SiO_2-HMBr_2-H_2O$ by a direct approach under conventional hydrothermal conditions and characterized by means of XRD, N_2 adsorption-desorption, SEM-EDX, TEM and FT-IR. The results showed that the synthetic sample possessed a composite phase with the mosaic morphology about $1 \sim 2~\mu m$ of zeolite L grow on one side of zeolite T particle. The promotion effect is attributed to complex pore channel structure in the T-L composite zeolite: the composite sample has hierarchical structure, coupled with an uniform micropore size of about 0.82 nm and an average mesopore size of 3.8 nm. The optimum atomic ratio of $K_2O/(K_2O+Na_2O)$ ranges from 0.3 to 0.5.

Key words: mosaic morphology; T-L composite zeolite; hierarchical zeolite; characterization